

# **ИНТЕРКОСМОС**

**Некоторые результаты научных экспериментов на ракетах  
„Вертикаль 1 и 2“ и на спутниках „Интеркосмос 2 и 5“**

**Издано в**

**АН ГДР**

**Институт Электроники**

**Редакционная коллегия:**

**Ю. Рустенбах, К-Х. Бишофф, Д. Фин.**

**1974**

И.А.Кнорин, В.А.Рудаков

ИЗМЕРЕНИЯ КОНЦЕНТРАЦИИ ЭЛЕКТРОНОВ В ИОНОСФЕРЕ ВО  
ВРЕМЯ ЗАПУСКОВ РАКЕТ "ВЕРТИКАЛЬ-1" И "ВЕРТИКАЛЬ-2"

Приведено краткое описание методики, аппаратуры и результатов экспериментов по измерению  $n_e(h)$  – профилей, проведенных во время запусков двух геофизических ракет в 1970–71 гг. с помощью дисперсионного УКВ радиоинтерферометра.

В числе экспериментов на ракетах "Вертикаль-1" и "Вертикаль-2" проводились измерения вертикального распределения электронной концентрации в ионосфере –  $n_e(h)$  – профилей – методом дисперсионного интерферометра. Такие измерения успешно проводятся в течение ряда лет в СССР [1–3] и в США (напр., [4]).

I. Аппаратура и методика измерений электронной концентрации

Измерения  $n_e$  методом дисперсионного радиоинтерферометра заключаются в регистрации на Земле изменений разности фаз двух когерентных радиоволн с частотами  $f_1 = 144$  МГц

■  $f_2 = 48$  Мгц, излучающихся передатчиком, установленным за ракете. Такие измерения систематически проводятся в СССР с 1954 г., методика измерений подробно изложена в [2]. В последние годы аппаратура УКВ дисперсионного интерферометра была в значительной степени модернизирована по сравнению с ранее применявшейся [5]. Был заменен бортовой передатчик; новый передатчик обеспечивает по каждому из двух каналов мощность примерно 1,5 вт на несимметричных нагрузках 75 ом. Стабильность частоты задающего генератора не хуже  $10^{-6}$ . Потребляемая мощность около 25 вт. Новая приемно-фазометрическая аппаратура обеспечивает надежные измерения разности фаз при уровнях принимаемых сигналов 1 мкв. Полоса пропускания устройства составляет около 100 гц. Запись разности фаз  $\Phi$  осуществляется регистраторами двух типов — шлейфовыми осциллографами и регистраторами, в которых значения  $\Phi$  записываются на кинопленку с экрана электронно-лучевой трубы. Последний вид регистрации имеет большую по сравнению с первым разрешающую способность (возможен отсчет с точностью порядка  $5^\circ$ ) и, кроме того, позволяет определять знак изменения разности фаз, что в ряде случаев весьма важно.

Найденные для выбранных интервалов времени  $\Delta t$  значения приращений разности фаз  $\Delta\Phi$  позволяют получить значения электронной концентрации, средние для интервалов высот, проходимых ракетой за время  $\Delta t$  :

$$n_e = \frac{A \cdot \Delta \Phi}{v \cdot \Delta t} \text{ см}^{-3}, \quad (1)$$

где  $A$  - коэффициент, зависящий от применяемых частот и коэффициента умножения частоты в приемной аппаратуре (в нашем случае  $A = 1,35 \cdot 10^8$  для второго вида регистрации);  $\Delta \Phi$  - в радианах;  $v$  - вертикальная скорость ракеты в м/сек;  $\Delta t$  - интервал времени в сек, в нашем случае выбрано  $\Delta t = 0,25$  сек.

Приведенное выражение для  $n_e$  получено для вертикального полета ракеты над приемным пунктом. Во время измерений на ракетах "Вертикаль-1" и "Вертикаль-2" это условие выполнялось.

Следует отметить, что определение значений  $n_e$  возможно лишь при выполнении условия

$$n_e v \gg \int_0^h \frac{dn_e}{dt} dh, \quad (2)$$

где правый член неравенства - нестационарность столба ионосфера единичного сечения между передатчиком и приемником. Это условие не выполняется вблизи вершины траектории, где скорость ракеты  $v$  мала.

## II. Результаты измерения электронной концентрации

Оба запуска геофизических ракет "Вертикаль-1" и "Вертикаль-2" были произведены в утренние часы, вскоре

после восхода Солнца (зенитное расстояние Солнца  $82^{\circ}$  и  $78^{\circ}$ , соответственно, для пусков 28.II.70 г. и 20.08.71 г.). Прием сигналов установленного на ракете передатчика интерферометра осуществлялся двумя приемными пунктами, расположеными вблизи места старта (на расстоянии 2,5 км и 3 км). Кроме того, во время этих экспериментов, а также предшествующие дням запусков и последующие за ними дни ~~запуска~~ зондирование ионосфера с помощью ионосферной станции, расположенной в районе запуска. Эти измерения велись с целью получения сведений о состоянии ионосферы, которые могли быть полезны при измерениях поглощения радиоволн. ~~Запуск~~ также давали возможность судить о наличии возмущений в ионосфере и их характере.

Материалы, полученные во время этих экспериментов с дисперсионным интерферометром, в настоящее время обработаны и в результате получены  $n_e(h)$  — профили в интервале высот от 95–98 до 450 км. Измерения на меньших высотах оказались, как и в ряде предыдущих опытов, неудачными, поскольку запись фазовых соотношений  $\Phi(t)$  на малых высотах сопровождалась помехами, имеющими характер разряда на антенах передатчика. Для уменьшения возможности возникновения такого разряда во время эксперимента на ракете "Верналь-2" мощность в.ч. колебаний, подводимых от передатчиков каждой из антенн, была нами снижена в 10 раз (с 1,5 вт до 0,15 вт). Уменьшение мощности в.ч. колебаний для предотвращения разряда на антенах было осуществлено путем введения в цепь передатчика дополнительного сопротивления, включенного параллельно антенне.

вращения разряда использовалось и в опытах Бауера и Джексона, у которых уменьшение мощности производилось на высотах менее 100 км автоматическим программным устройством [6]. Однако в эксперименте на ракете "Вертикаль-2" эта мера не дала положительных результатов.

Профили  $n_e(h)$ , полученные 28.II.1970 г. и 20.08.1971 г., приведены на рис. I и 2. Оба профиля построены до высот, несколько меньших, чем максимальная высота подъема ракет. Это вызвано тем, что вблизи вершины траектории не выполняется условие (2). Невыполнение этого условия ведет к резкому возрастанию ошибки, вносимой в результаты измерений влиянием нестационарности ионосферы.

Для момента нахождения ракеты в верхней точке траектории из записей изменений  $n_e(h)$  были определены в обоих экспериментах значения нестационарности

$\int \frac{dn_e}{dt} dh$ , которые оказались равными:  
 $+5 \cdot 10^9 \text{ см}^{-2} \text{ сек}^{-1}$  для эксперимента "Вертикаль-1" и  
 $+2 \cdot 10^9 \text{ см}^{-2} \text{ сек}^{-1}$  для эксперимента "Вертикаль-2".

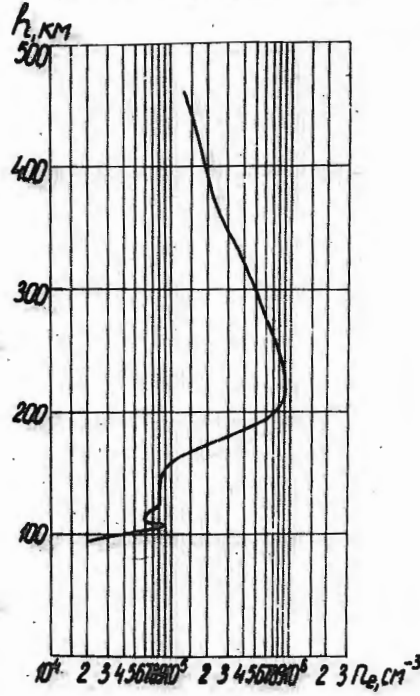


Рис. I.  
 $n_e(h)$  — профиль, полученный 28 ноября 1970 г.

Джек-  
иа вы-  
йством  
эта  
по-

Анализ ионограмм, полученных в период 25.II-2.III.1970 г. ("Вертикаль-1") и 19-23.08.1971 г. ("Вертикаль-2") показал, что состояние ионосфера во время экспериментов было невозмущенным и типичным для указанных периодов. Для примера в таблице I приведены сведения о критических частотах в период 19-23.08.1971 г. Время зондирования примерно соответствует времени пуска ( $\pm 15$  мин).

В таблице 2 даны сведения о солнечной активности в дни экспериментов и в прилежащие к ним по данным [7].

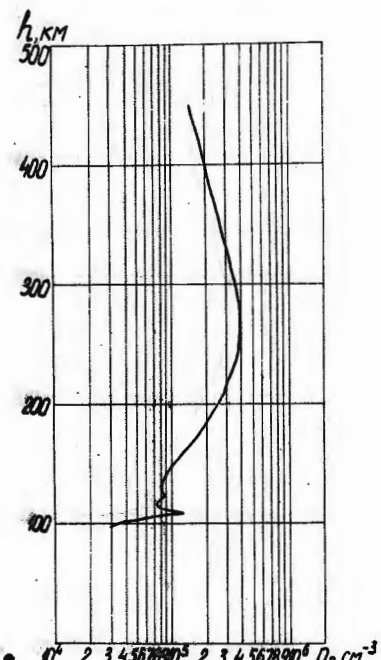


Рис.2.

$n_e(h)$  — профиль, полученный 20 августа 1971 г.

Таблица I

Дата	$f_{\text{кр}} F_2$ МГц	$n_{e\text{max}} F_2$ см $^{-3}$	$f_{\text{кр}} E$ МГц	$n_{e\text{max}} E$ см $^{-3}$
19.08.71	5,5	$3,7 \cdot 10^5$	2,3	$6,6 \cdot 10^4$
20.08	5,2	$3,3 \cdot 10^5$	2,3	$6,6 \cdot 10^4$
21.08	5,5	$3,7 \cdot 10^5$	2,6	$8,4 \cdot 10^4$
22.08	5,3	$3,5 \cdot 10^5$	2,2	$6 \cdot 10^4$
23.08	4,6	$2,6 \cdot 10^5$	2,3	$6,6 \cdot 10^4$

Таблица 2

Поток радиоизлучения Солнца на частоте 2800 МГц  
 $F (\times 10^{22} \text{ вт.м}^{-2} \text{ Гц}^{-1})$

Дата	$F_{2800}$	Дата	$F_{2800}$
26.II.1970	129,3	18.08.1971	110,5
27.II.	135,1	19.08	126,2
28.II.	148,9	20.08	141,1
29.II	148,4	21.08	150,3
30.II	152,5	22.08	151,2

Значения  $n_e$  на высотах 95–105 км, полученные дисперсионным методом при запуске ракеты "Вертикаль-І", были использованы К.Бишофом и др. при расчетах эффективной частоты соударений электронов по данным измерений поглощения радиоволн в ионосфере, причем значения на высотах менее 95 км были определены путем экстраполяции измеренного  $n_e(h)$  – профиля до высоты 85 км по литературным данным [8].

В описанных измерениях кроме авторов статьи участвовали А.В.Бирюков, Ю.В.Мусатов, Г.К.Новожилов, Л.А.Шнурева.

ЛИТЕРАТУРА

1. К.И.Грингауз, Докл.АН СССР, I20, № 6, I234, I958.
2. К.И.Грингауз, В.А.Рудаков. Сб. "Искусственные спутники Земли", вып.6, изд.АН СССР, I96I, стр.48.
3. Г.Г.Гетманцев, К.И.Грингауз и др. Изв.ВУЗ'ов (радиофизика), II, № 5, 649, I968.
4. Electron Density Profiles in the Ionosphere and Exosphere (ed. by Machlum). Pergamon press, 1962.  
Русский перевод: Распределение электронной концентрации в ионосфере и экзосфере, МИР, I964.
5. К.И.Грингауз, В.А.Рудаков, А.В.Капорский. Сб."Искусственные спутники Земли", вып.6, изд.АН СССР, I96I, стр.34.
6. S.J.Bauer, J.E.Jackson. Rep. Nx-615-63-95 Goddard Space Flight Center (presented at IV Symp.COSPAR, 1963).
7. Solar Geophys.Data. ESSA Res.Lab.Boulder, Co
8. К.Бишоф, К.И.Грингауз, Г.Кобер, Г.Кляйн, И.А.Кнорин, В.А.Рудаков. Космические исследования, I0, № 2, 228, I972.